

**МИНИСТЕРСТВО НАУКИ И ВЫСШЕГО ОБРАЗОВАНИЯ
РОССИЙСКОЙ ФЕДЕРАЦИИ
ФЕДЕРАЛЬНОЕ ГОСУДАРСТВЕННОЕ АВТОНОМНОЕ ОБРАЗОВАТЕЛЬНОЕ
УЧРЕЖДЕНИЕ ВЫСШЕГО ОБРАЗОВАНИЯ
«РОССИЙСКИЙ УНИВЕРСИТЕТ ДРУЖБЫ НАРОДОВ ИМЕНИ ПАТРИСА ЛУМУМБЫ»
Факультет физико-математических и естественных наук
Кафедра теории вероятностей и кибербезопасности**

«Допустить к защите»

Заведующий кафедрой
теории вероятностей
и кибербезопасности
д. т. н., профессор
_____ К. Е. Самуйлов
«__» _____ 20__ г.

**Выпускная квалификационная работа
бакалавра**

Направление 09.03.03 «Прикладная информатика»

Тема «Моделирование систем управления трафиком»

Выполнил студент Саргсян Арам Грачьевич

Группа НПИбд-01-20
Студенческий билет № 1032201740

Руководитель выпускной
квалификационной работы
доцент кафедры
теории вероятностей
и кибербезопасности
к. ф.-м. н., доцент
А. В. Королькова

Автор _____

**Москва
2024**

**МИНИСТЕРСТВО НАУКИ И ВЫСШЕГО ОБРАЗОВАНИЯ
РОССИЙСКОЙ ФЕДЕРАЦИИ
ФЕДЕРАЛЬНОЕ ГОСУДАРСТВЕННОЕ АВТОНОМНОЕ ОБРАЗОВАТЕЛЬНОЕ
УЧРЕЖДЕНИЕ ВЫСШЕГО ОБРАЗОВАНИЯ
«РОССИЙСКИЙ УНИВЕРСИТЕТ ДРУЖБЫ НАРОДОВ ИМЕНИ ПАТРИСА ЛУМУМБЫ»**

**Аннотация
выпускной квалификационной работы**

Саргсяна Арама Грачьевича

на тему: Моделирование систем управления трафиком

Алгоритмы управления очередью, применяемые в сетевых маршрутизаторах, выполняют ключевую функцию в обеспечении высокого уровня качества обслуживания (Quality of Service, QoS), что в свою очередь способствует эффективному распределению сетевых ресурсов и удовлетворению требований пользователей к задержке, пропускной способности и надежности передачи данных. В рамках выпускной квалификационной работы осуществляется глубокий анализ производительности алгоритма Random Early Detection (RED) и его модификаций через комплексное моделирование. Данный анализ включает в себя сравнение с другими дисциплинами управления очередями с использованием критериев, таких как размер очереди, задержка, вариативность задержки и изменение размера окна протокола TCP. Применение моделирования на базе симулятора NS-2, включающего модификацию исходного кода, и реализация на практике с использованием Mininet, а также инструментов iperf3, tc, netem, позволяют точно оценить производительность и эффективность различных настроек RED. Анализ результатов, полученных с помощью программы Gnuplot, демонстрирует, что алгоритмы семейства RED обеспечивают значительные преимущества по сравнению с традиционным механизмом Drop Tail, особенно в аспектах управления задержкой и ее вариативностью, а также снижения частоты отбрасывания пакетов. Эти выводы подкрепляются количественными данными и графическими иллюстрациями, что делает исследование актуальным для разработчиков сетевого оборудования, стремящихся оптимизировать процессы управления трафиком.

Содержание

Введение	4
1. Средства моделирования сетей передачи данных	5
1.1. NS-2	5
1.2. Mininet	5
1.3. Cisco Packet Tracer	6
1.4. GNS-3	6
2. Обзор дисциплины управлением очередью RED	8
2.1. Линейные модификации	8
2.2. Нелинейные модификации	11
2.3. Адаптивные модификации	14
3. Результаты	17
3.1. Название секции	17
3.2. Название секции	18
3.3. Название секции	18
Заключение	19
Список литературы	20
A. Имитационная модель	22
A.1. main.tcl	22
A.2. Название секции	22
B. Название второго приложения	23
B.1. Название секции	23
B.2. Название секции	23
C. Заголовочный файл diffur.h	24
D. Файл diffur.c	32
Список иллюстраций	35
Список таблиц	36

Введение

Актуальность темы

Текст

Цель работы:

Текст

Краткое содержание работы

Текст

Глава 1. Средства моделирования сетей передачи данных

В данном разделе представим краткий обзор средств моделирования сетей передачи данных.

1.1. NS-2

NS-2 (Network simulator 2) — это программное средство моделирования сетей, использующееся для исследования и анализа поведения компьютерных сетей. Запуск имитационной модели в данной среде позволяет анализировать различные протоколы и алгоритмы сетевой связи.

NS-2 разработан на языке программирования C++ и TCL, что обеспечивает гибкость и расширяемость средства моделирования. NS-2 содержит библиотеку классов, которые представляют различные элементы сети, такие как узлы, маршрутизаторы, каналы связи и протоколы передачи данных. Для создания модели сети определяются характеристики и параметры каждого элемента сети: пропускная способность канала, задержки, вероятность потери пакетов и другие. После завершения симуляции NS-2 предоставляет мощные инструменты анализа результатов, включая возможность визуализации данных посредством программы NAM (Network animator), статистический анализ и сравнение результатов экспериментов, что позволяет изучать и оценивать производительность различных протоколов и алгоритмов в различных сценариях сети [11; 14].

1.2. Mininet

Mininet [6] — это симулятор сетевых топологий на основе виртуализации, который позволяет моделировать и изучать поведение сетей в контролируемой среде, основанный на использовании виртуальных машин и пространств имен Linux для создания изолированных сетевых узлов. Моделирование сетевых топологий с помощью Mininet позволяет исследовать различные сетевые протоколы, маршрутизацию, управление трафиком и т.д. Возможности моделирования с помощью Mininet включают создание виртуальных сетевых узлов, конфигурирование топологий (связь между узлами, настраивать IP-адреса, маршрутизацию), имитировать различные условия сети, такие как задержки, потери пакетов и пропускную способность, интеграция с контроллерами для исследования новых протоколов и алгоритмов.

Некоторые характеристики, которые указали на создание Mininet, включают в себя:

- **Гибкость:** новые топологии и функции могут быть настроены в программном обеспечении с использованием языков программирования и распространенных операционных систем.
- **Применимость:** правильно реализованные прототипы должны быть применимы в реальных сетях на базе оборудования без изменений в исходных кодах.
- **Интерактивность:** управление и запуск симулированной сети должны происходить в режиме реального времени, как если бы это происходило в реальных сетях.
- **Масштабируемость:** среда прототипирования должна масштабироваться до крупных сетей с сотнями или тысячами коммутаторов на одном компьютере.
- **Реализм:** поведение прототипа должно соответствовать реальному поведению с высокой степенью уверенности, чтобы приложения и протоколы могли использоваться без изменений в коде.
- **Возможность совместного использования:** созданные прототипы должны быть легко совместно используемыми с другими сотрудниками, которые могут выполнять и модифицировать эксперименты.

1.3. Cisco Packet Tracer

Packet Tracer — это программное средство, предоставляемое компанией Cisco Systems, позволяющей смоделировать, конфигурировать и отлаживать сетевые сценарии, широко используемое в области сетевых технологий. Данное программное обеспечение предоставляет виртуальную среду, которое позволяет создавать сетевые топологии и настраивать устройства Cisco: маршрутизаторы, коммутаторы и т.д. Графический интерфейс позволяет соединять устройства, устанавливать параметры соединений и задавать настройки протоколов. Cisco Packet Tracer позволяет имитировать передачу данных в сети. Пользователи могут выполнять различные тесты связи, проводить диагностику и мониторинг сетевых устройств, а также создавать и анализировать журналы событий.

1.4. GNS-3

GNS-3 — это программное средство моделирования сетей, позволяющий создавать виртуальные сети, состоящие из реальных или виртуальных устройств, и анализировать их поведение. GNS-3 разработан на языке программирования Python и основан на эмуляторе динамических узлов Dynamips, который позволяет запускать реальные образы операционных систем. В отличие от Packet Tracer, GNS-3 позволяет смоделировать не только

устройства Cisco, но и другие устройства, например, Juniper, Palo, Alto и другие, что позволяет смоделировать различные типы сетей, включая центры обработки данных и облачные инфраструктуры. Одной из главных особенностей GNS-3 является интеграция с виртуальными машинами, что расширяет возможности моделирования. Появляется возможность создавать сетевые сценарии, в которых виртуальные машины выполняют реальные функции, такие как серверы, клиенты, точки доступа Wi-Fi и т.д. Это позволяет проводить натурное моделирование и получить более реалистичные результаты в рамках виртуальной среды.

Глава 2. Обзор дисциплины управлением очередью RED

В данном разделе представим описание работы нескольких алгоритмов семейства RED.

2.1. Линейные модификации

Random Early Detection (RED) — это семейство механизмов предотвращения перегрузки на шлюзе. Он основан на общих принципах, полезен для управления средним размером очереди в сети, где не доверяют взаимодействию между протоколами передачи данных. В отличие от Droptail, который работает таким образом, что когда очередь заполняется, новые пакеты, поступающие в очередь, начинают теряться, алгоритм RED учитывает потоки трафика в сети и стремится предоставить равную пропускную способность для каждого соединения, что позволяет избежать перегрузки сети и улучшить качество обслуживания. В оригинальном RED маршрутизатор вычисляет усредненный по времени средний размер очереди с использованием фильтра нижних частот (экспоненциально взвешенное скользящее среднее) или сглаживания по длине выборки очередей, средний размер очереди сравнивается с двумя пороговыми значениями: минимальным порогом и максимальным. Когда средний размер очереди меньше минимального порога, пакеты не отбрасываются, когда средний размер очереди превышает максимальный порог, отбрасывается все поступающие пакеты. Если размер средней очереди находится между минимальным и максимальным порогом, пакеты отбрасываются с вероятностью p , которая линейно увеличивается до тех пор, пока средняя очередь не достигнет максимального порога. Подробно классический алгоритм описан в [4; 18].

На рисунке ?? представлена упрощенная схема построения современного МЦОВ.

Вероятность p_b маркировки на отбрасывание пакетов представляет собой функцию, линейно зависящую от \hat{q} (средневзвешенное скользящее среднее), минимального q_{\min} и максимального q_{\max} пороговых значений и параметра p_{\max} , определяющего часть отбрасываемых пакетов при достижении средним размером очереди значения q_{\max} и вычисляется следующим образом (2.1):

$$p_b = \begin{cases} 0, & 0 < \hat{q} \leq q_{\min}, \\ \frac{\hat{q} - q_{\min}}{q_{\max} - q_{\min}} p_{\max}, & q_{\min} < \hat{q} \leq q_{\max}, \\ 1, & \hat{q} > q_{\max}. \end{cases} \quad (2.1)$$

В NS-2 файлы, связанные с RED, прописаны в каталоге ns-2.35/queue, там представлены также другие реализации очередей (среди них DropTail, BLUE и т.д.). Следует уделить внимание двум файлам: red.cc (исходники), и red.h (заголовочный файл). Вероятность отбрасывания пакета прописана в функции

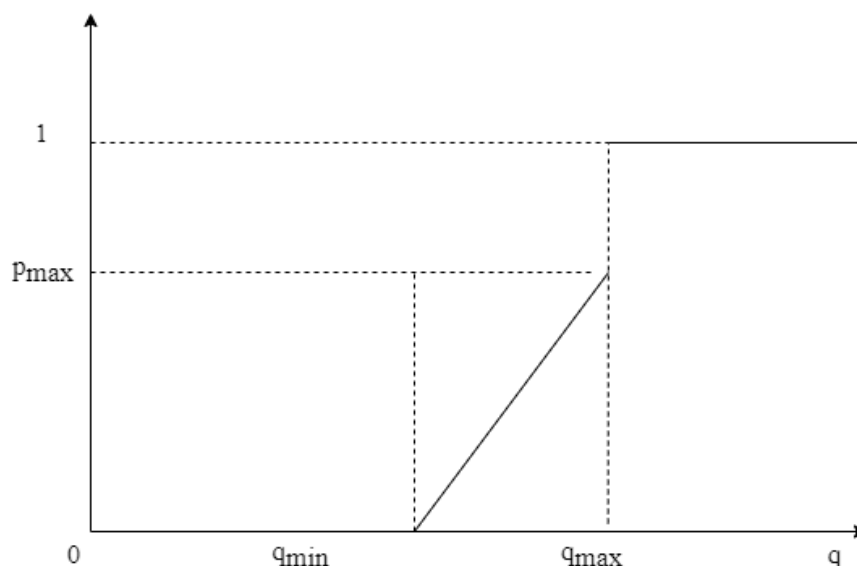


Рис. 2.1.. Вид функции сброса в алгоритме RED

double REDQueue::calculate_p_ne файла red.cc

Для реализации в NS-2 необходимо указать в качестве очередей между соединениями RED, и при настройке очереди указать минимальные и максимальные пороговые значения (`thresh_` и `maxthresh_`), величина, обратное параметру максимального сброса (`linterm_`), а также указать параметр `gentle_ false`.

Для реализации в Mininet используем утилиту `tc qdisk ... red`, имеющий следующие опции:

- `min`: минимальный порог, по достижении которого возникает вероятность отметки пакета.
- `max`: максимальный порог очереди
- `probability`: максимальная вероятность пометки, указанная как число с плавающей точкой, от 0.0 до 1.0.
- `limit`: жесткий предел реального (не среднего) размера очереди в байтах. По достижении этого размера все лишние пакеты будут отброшены.
- `burst`: используется для определения того, как реальный размер очереди начинает влиять на средний размер очереди.
- `avpkt`: указывается в байтах. Используется вместе с `burst` для определения временной константы для вычисления среднего размера очереди. 1000 - неплохое значение.
- `bandwidth`: используется для расчета среднего размера очереди после простоя в течение некоторого времени. Должно быть равным значению пропускной способности интерфейса. Не влияет на параметр пропускной скорости интерфейса. Необязательное значение.

Существует несколько причин, по которым существует множество вариаций алгоритмов семейства RED:

1. Разнообразные сетевые сценарии: Разные сетевые сценарии требуют разных настроек и параметров для эффективного управления потоком. Например, алгоритм RED может быть настроен по-разному для использования в локальной сети (LAN) и в глобальной сети (WAN) или в сетях с разной пропускной способностью.
2. Разные типы сетей: RED может быть применен в разных типах сетей, включая проводные и беспроводные сети, и разные типы сетей могут иметь уникальные характеристики и требования, которые влияют на алгоритм.
3. Эволюция сетевых технологий: Сетевые технологии постоянно развиваются, и новые требования и возможности могут потребовать адаптации алгоритма RED. Например, изменения в сетевых протоколах или появление новых типов трафика могут потребовать модификаций алгоритма RED.
4. Эксперименты и исследования: Сетевые исследователи могут создавать различные вариации RED для проведения экспериментов и оценки их производительности в различных условиях.
5. Открытая архитектура: RED - это открытая архитектура, что позволяет исследователям и инженерам создавать свои собственные модификации и адаптации алгоритма в соответствии с конкретными потребностями и задачами.

GRES (Gentle Random Early Detection, мягкое/аккуратное произвольное раннее обнаружение) — алгоритм активного управления очередью, является расширением RED. Стандартный алгоритм увеличивает вероятность отбрасывания с 0.05 до 0.5, когда средняя длина очереди увеличивается от минимального до максимального порогового значения, но при превышении максимального порога вероятность возрастает напрямую с 0.5 до 1. Этот внезапный скачок нормализуется модификацией Gentle RED, который расширяет RED тем, что добавляет дополнительное максимальное пороговое значение, которое равно $2q_{\max}$, тем самым «сглаживая» кривую [12]. Однако, например, задача минимального порога в данной модификации не меняется, и увеличение лишь максимального порога для отбрасывания всех пакетов делает GRES лишь частным случаем классического алгоритма. Данная модификация в NS-2 используется по умолчанию, так как переменная `gentle_` по умолчанию является истинной.

Вероятность сброса определяется по формуле (2.2):

$$p_b = \begin{cases} 0, & 0 < \hat{q} \leq q_{\min}, \\ \frac{\hat{q} - q_{\min}}{q_{\max} - q_{\min}} p_{\max}, & q_{\min} \leq \hat{q} < q_{\max}, \\ \frac{\hat{q} - q_{\min}}{q_{\max}} (1 - p_{\max}) - p_{\max}, & q_{\max} \leq \hat{q} < 2q_{\max}, \\ 1, & \hat{q} \geq q_{\max}. \end{cases} \quad (2.2)$$

WRED (Weighted random early detection — взвешенное произвольное раннее обнаружение) — это алгоритм активного управления очередью, является расширением RED [15].

Взвешенный алгоритм произвольного раннего обнаружения предоставляет различные уровни обслуживания пакетов в зависимости от вероятности их отбрасывания и обеспечивает избирательную установку параметров механизма RED на основании типа трафика.

Алгоритм DS-RED(Double slope random early detection) — это ещё одна модификация RED, в котором вводится дополнительное пороговое значение q_{mid} между минимальным q_{\min} и максимальным RED. Функция сброса описывается двумя линейными сегментами с углами наклона α и β соответственно, регулируемым задаваемым селектором режимов γ [16]. По умолчанию модификация не реализована в NS-2, для её реализации дополнил функцию `double REDQueue::calculate_p_ne` файла `red.cc`, а в программе очереди указал значение переменной `double_slope_ 1`.

Функция вероятности сброса пакетов в алгоритме DSRED показана в формуле (2.3)

$$p_b = \begin{cases} 0, & 0 < \hat{q} \leq q_{\min}, \\ \alpha \hat{q} - q_{\min}, & q_{\min} \leq \hat{q} < q_{mid}, \\ 1 - \gamma + \beta \hat{q} - q_{mid}, & q_{mid} \leq \hat{q} < q_{\max}, \\ 1, & \hat{q} \geq q_{\max}. \end{cases} \quad (2.3)$$

где $\alpha = (\frac{2(1-\gamma)}{\hat{q} - q_{\min}})$, а $\beta = (\frac{2\gamma}{\hat{q} - q_{\min}})$

2.2. Нелинейные модификации

Nonlinear RED — это модификация классического алгоритма RED, в котором используется нелинейная функция для определения вероятности отбрасывания пакетов. Nonlinear RED предназначен для более точной адаптации к изменениям трафика и динамике сети. Он способен эффективно реагировать на изменения величины очереди и адаптироваться к различным условиям сети. Это позволяет более гибко управлять задержкой пакетов и предотвращать перегрузки в сети, что делает Nonlinear RED более эффективным по сравнению с классическим алгоритмом RED. [9; 17].

Вероятность p_b маркировки на отбрасывание пакетов вычисляется следующим способом (2.5):

$$p_b = \begin{cases} 0, & 0 < \hat{q} \leq q_{\min}, \\ 1.5 \left(\frac{\hat{q} - q_{\min}}{q_{\max} - q_{\min}} \right)^2 p_{\max}, & q_{\min} < \hat{q} \leq q_{\max}, \\ 1, & \hat{q} > q_{\max}. \end{cases} \quad (2.4)$$

По умолчанию NLRED не реализован в NS-2. Для её добавления я использовал патч для данной модификации, созданный Mohit P. Tahirani для версии 2.34, совместимой также для версии 2.35.

1. Установил к себе на машину патч NLRED.patch от
2. Отредактировал файл, заменив везде номер версии на 2.35 и переместил в каталог ns-allinone.
3. Дополнил файлы queue/red.cc, queue/red.h, tcl/ns-default.tcl строками из патча, .
4. Переустановил программу.
5. В настройке очереди сети указал значение переменной nonlinear_ 1.

HRED(Hyperbola random early detection) — это модификация классического RED с нилейно возрастающей функцией отбрасывания пакетов в сети. HRED менее чувствителен к настройкам параметров, чем другие схемы. При заданном значении q_{\max} HRED ведет себя похожим образом и не сильно зависит от других параметров. HRED может достичь более высокого использования сети. HRED обеспечивает предсказуемую задержку в очереди сети. HRED сохраняет способность контролировать кратковременную перегрузку путем поглощения пакетных потоков, так как он все еще использует алгоритм подсчета среднего размера очереди и поддерживает неполную очередь. Размер очереди может быть задан и зависит от требований. HRED прост в реализации и легко внедряется на маршрутизаторах, так как меняется только профиль отбрасывания по сравнению с классическим алгоритмом RED [5]. По умолчанию модификация не реализована в NS-2, для её реализации дополнил функцию double REDQueue::calculate_p_ne файла red.cc, а в программе очереди указал значение переменной hyperbola_ 1.

Вероятность p_b маркировки на отбрасывание пакетов вычисляется следующим способом (2.5):

$$p_b = \begin{cases} 0, & 0 < \hat{q} \leq q_{\min}, \\ 1.5 \left(\frac{\hat{q} - q_{\min}}{q_{\max} - q_{\min}} \right)^{-1} p_{\max}, & q_{\min} < \hat{q} \leq q_{\max}, \\ 1, & \hat{q} > q_{\max}. \end{cases} \quad (2.5)$$

TRED(Three-section random early detection) — это разновидность алгоритма RED, основанный на Nonlinear RED, которая направлена на решение проблем недостаточного использования пропускной способности и больших задержек, возникающих при низкой и высокой нагрузке в RED. Средняя длина очереди TRED между двумя пороговыми значениями разделена на три равные секции, и вероятность отбрасывания пакетов для каждой секции устанавливается по-разному, чтобы адаптироваться к различным трафиковым нагрузкам. С использованием симуляции в среде NS2, TRED эффективно устраняет недостатки RED, увеличивая пропускную способность при низкой нагрузке и снижая задержку при высокой нагрузке. TRED улучшает способность регулировать сетевую перегрузку, повышая использование ресурсов сети и стабильность схемы. В дальнейших исследованиях мы заинтересованы в изучении TRED с явным уведомлением о перегрузке (ECN), поскольку множество исследований показало, что AQM с ECN работает более эффективно, чем без ECN. [3]. По умолчанию модификация не реализована в NS-2, для её реализации дополнил функцию `double REDQueue::calculate_p_ne` файла `red.cc`, а в программе очереди указал значение переменной `three_sections_ 1`.

Вероятность p_b маркировки на отбрасывание приведена в (2.6), где $\delta = (q_{\max} - q_{\min})/3$.

$$p_b = \begin{cases} 0, & 0 \leq \hat{q} < q_{\min}, \\ 9 \left(\frac{\hat{q} - q_{\min}}{q_{\max} - q_{\min}} \right)^3 p_{\max}, & q_{\min} \leq \hat{q} < q_{\min} + \delta, \\ \left(\frac{\hat{q} - q_{\min}}{q_{\max} - q_{\min}} \right) p_{\max}, & q_{\min} + \delta \leq \hat{q} < q_{\min} + 2\delta, \\ 9 \left(\frac{\hat{q} - q_{\min}}{q_{\max} - q_{\min}} \right)^3 p_{\max} + p_{\max}, & q_{\min} + 2\delta \leq \hat{q} < q_{\max}, \\ 1, & \hat{q} \geq q_{\max}. \end{cases} \quad (2.6)$$

RED-QL(Random early detection-quadratic linear) — модификация алгоритма RED, также является разновидностью алгоритма с нелинейно возрастающей функцией. RED-QL имеет квадратично-линейную форму и определяется на основе параметров, которые могут быть настроены для определенных требований сети[8] По умолчанию модификация не реализована в NS-2, для её реализации дополнил функцию `double REDQueue::calculate_p_ne` файла `red.cc`, а в программе очереди указал значение переменной `quadratic_linear_ 1`.

Вероятность p_b маркировки на отбрасывание приведена в (2.7), где $Target = 2(q_{\max} + q_{\min})/3 - q_{\min}$.

$$p_b = \begin{cases} 0, & 0 \leq \hat{q} < q_{\min}, \\ 9\left(\frac{\hat{q}-q_{\min}}{2(q_{\max}-2q_{\min})}\right)^2 p_{\max}, & q_{\min} \leq \hat{q} < Target, \\ p_{\max} + 3(1-p_{\max})\left(\frac{\hat{q}-Target}{q_{\max}+q_{\min}}\right), & Target \leq \hat{q} < q_{\max}, \\ 1, & \hat{q} \geq q_{\max}. \end{cases} \quad (2.7)$$

2.3. Адаптивные модификации

В алгоритме Adaptive RED (ARED) функция сброса модифицируется посредством изменения по принципу AIMD, заключающейся в том, что увеличение некоторой величины производится путём сложения с некоторым параметром, а уменьшение — путём умножения на параметр [1]. Для её реализации в NS-2 необходимо указать в настройке очереди `set adaptive_ 1`. Для реализации в Mininet нужно указать в `tc` дополнительно `adaptive`

Алгоритм ARED функционирует следующим образом ((2.8)), ((2.9)). Для каждого интервала `interval` (параметр) в секундах, если \hat{q} больше целевой (желаемой) \hat{q}_t и $p_{\max} \leq 0,5$, то p_{\max} увеличивается на некоторую величину α ; в противном случае, если \hat{q} меньше целевой \hat{q}_t и $p_{\max} \geq 0,01$, то p_{\max} уменьшается в β раз, α и β задаются командами `set alpha_` и `set beta_`:

$$p_{\max} = \begin{cases} p_{\max} + \alpha, & \hat{q} > \hat{q}_t, p_{\max} \leq 0,5, \\ \beta p_{\max}, & \hat{q} < \hat{q}_t, p_{\max} \geq 0,01, \end{cases} \quad (2.8)$$

$$q_{\min} + 0,4(q_{\max} - q_{\min}) < \hat{q}_t < q_{\min} + 0,6(q_{\max} - q_{\min}). \quad (2.9)$$

Основные особенности:

- автоматическая установка минимального порога q_{\min} . Он устанавливается в зависимости от пропускной способности канала C и задержки целевой очереди, q_{\max} приравнивается к $3q_{\min}$;
- автоматическая настройка w_q . Он устанавливается в зависимости от пропускной способности канала C ;
- адаптивная настройка p_{\max} . Он адаптирован в соответствии с текущей средней длиной очереди;
- рекомендованными значениями параметров являются $\alpha < 0.25$ и $\beta > 0.83$.

SmRED(Smart random early detection) — модификация RED, в которой вероятность отбрасывания пакетов регулируется в зависимости от нагрузки трафика для достижения

оптимальной сквозной производительности. Кроме того, переход с RED на SmRED в реальной сети требует очень мало работы из-за своей простоты. SmRED эффективно устраняет недостатки RED, увеличивает пропускную способность при низкой нагрузке и уменьшает задержку при высокой нагрузке [2]. По умолчанию модификация не реализована в NS-2, для её реализации дополнил функцию `double REDQueue::calculate_p_ne` файла `red.cc`, а в программе очереди указал значение переменной `smart_ 1`.

Вероятность p_b маркировки на отбрасывание приведена в (2.10), где $Target = (q_{max} - q_{min})/2 + q_{min}$.

$$p_b = \begin{cases} 0, & 0 \leq \hat{q} < q_{min}, \\ \left(\frac{\hat{q} - q_{min}}{q_{max} - q_{min}}\right)^2 p_{max}, & q_{min} \leq \hat{q} < Target, \\ \sqrt{\frac{\hat{q} - q_{min}}{q_{max} - q_{min}}} p_{max}, & Target \leq \hat{q} < q_{max}, \\ 1, & \hat{q} \geq q_{max}. \end{cases} \quad (2.10)$$

Алгоритм Refined ARED предлагает более активно изменять вероятность сброса p_{max} , чтобы иметь возможность быстрой адаптации к изменяющейся экспоненциально взвешенной скользящей средней длине очереди \hat{q} [7].

Функции изменения параметра p_{max} представлена ниже ((2.11)), ((2.12)):

$$p_{max} = \begin{cases} p_{max} + \alpha, & \hat{q} > \hat{q}_t, \quad p_{max} \leq 0,5, \\ \beta p_{max}, & \hat{q} \leq \hat{q}_t, \quad p_{max} > 0,5, \end{cases} \quad (2.11)$$

$$\begin{cases} q_{min} + 0,48(q_{max} - q_{min}) < \hat{q}_t < q_{min} + 0,52(q_{max} - q_{min}), \\ \alpha = \left(0,25 \frac{\hat{q} - \hat{q}_t}{\hat{q}_t}\right) p_{max}, \\ \beta = 1 - \left(0,17 \frac{\hat{q} - \hat{q}_t}{\hat{q}_t - q_{min}}\right). \end{cases} \quad (2.12)$$

По умолчанию Refined ARED не реализован в NS-2. Для его добавления я проделал следующие шаги:

1. Установил к себе на машину патч `RARED.patch` от
2. Отредактировал файл, заменив везде номер версии на 2.35 и переместил в каталог `ns-allinone`.
3. Дополнил файлы `queue/red.cc`, `queue/red.h`, `tcl/ns-default.tcl` строками из патча.
4. Переустановил программу.

5. В настройке очереди указал значение `adaptive_1` и `refined_adaptive_1`.

Powared является модификацией алгоритма ARED [10]. В данной модификации величина p_{max} максимального сброса считается следующим образом ((2.13)). Алгоритм POWARED более агрессивно реагирует на изменение средней очереди, чем ARED. Данная модификация не реализована в NS-2, для её моделирования я в файл `red.cc` добавил функцию `void REDQueue::updateMaxP_powared`, а в настройке очереди сети указал значение переменных `adaptive_1` и `powared_1`. Параметры модификации задаются с помощью переменных `pwk_`, `pwb_`.

$$p_{max} = \begin{cases} p_{max} - \delta_1, & q_{min} \leq \hat{q} < q_{mid}, \\ p_{max} + \delta_2, & q_{mid} < \hat{q} \leq q_{max}, \\ p_{max}, & \hat{q} = q_{mid}, \end{cases} \quad (2.13)$$

где $q_{mid} = 0.5(q_{min} + q_{max})$, $\delta_1 = \left| \frac{(\hat{q} - q_{mid})}{(\beta q_{mid})} \right|^K$, а $\delta_2 = \left| \frac{(q_{mid} - \hat{q})}{(\beta(R - q_{mid}))} \right|^K$.

FARED(Fast Adapting RED) — это алгоритм, который сохраняет целевой диапазон, указанный в алгоритме RARED, но изменяет верхнюю и нижнюю границы для α и β соответственно. Алгоритм FARED обеспечивает надежную производительность в широком диапазоне сред, включая сценарии с умеренной и высокой нагрузкой на трафик [13]. Данная модификация не требует установки каких-либо дополнительных параметров для повышения производительности. Поскольку в алгоритм FARED внесены лишь незначительные изменения по сравнению с ARED и ReARED, он может быть развернут без каких-либо сложностей ((2.14), (2.15)). Данная модификация не реализована в NS-2, для её моделирования я в файл `red.cc` добавил функцию `void REDQueue::updateMaxP_fast_adaptive`, а в настройке очереди сети указал значение переменных `adaptive_1` и `fast_adaptive_1`.

$$p_{max} = \begin{cases} p_{max} + \alpha, & \hat{q} > \hat{q}_t, \quad p_{max} \leq 0,5, \\ \beta p_{max}, & \hat{q} \leq \hat{q}_t, \quad p_{max} > 0,5, \end{cases} \quad (2.14)$$

$$\begin{cases} q_{min} + 0,48(q_{max} - q_{min}) < \hat{q}_t < q_{min} + 0,52(q_{max} - q_{min}), \\ \alpha = \left(0,0412 \frac{\hat{q} - \hat{q}_t}{\hat{q}_t}\right) p_{max}, \\ \beta = 1 - \left(0,0385 \frac{\hat{q} - \hat{q}_t}{\hat{q}_t - q_{min}}\right). \end{cases} \quad (2.15)$$

Глава 3. Результаты

3.1. Название секции

Для запуска моделей используем сеть со следующей топологией:

- $N = 20$ TCP-источников, N TCP-приёмников, двух маршрутизаторов $R1$ и $R2$ между источниками и приёмниками (N — не менее 20);
- между TCP-источниками и первым маршрутизатором установлены дуплексные соединения с пропускной способностью 100 Мбит/с и задержкой 20 мс очередью типа DropTail;
- между TCP-приёмниками и вторым маршрутизатором установлены дуплексные соединения с пропускной способностью 100 Мбит/с и задержкой 20 мс очередью типа DropTail;
- между маршрутизаторами установлено симплексное соединение ($R1-R2$) с пропускной способностью 20 Мбит/с и задержкой 15 мс очередью типа RED, размером буфера 300 пакетов; в обратную сторону — симплексное соединение ($R2-R1$) с пропускной способностью 15 Мбит/с и задержкой 20 мс очередью типа DropTail;
- данные передаются по протоколу FTP поверх TCP Reno;
- параметры алгоритма RED: $q_{\min} = 75$, $q_{\max} = 150$, $q_w = 0,002$, $p_{\max} = 0.1$;
- максимальный размер TCP-окна 32; размер передаваемого пакета 500 байт; время моделирования — не менее 20 единиц модельного времени.

Для этого на сервере был запущен виртуальный сервер `xserv`, с IP-адресом `10.130.64.15`:

```
vzctl create 3006 --os template gentoo-x86
vzctl set 3006 --name /xserv --save
vzctl set 3006 --nameserver 10.130.64.15
vzctl start 3006
vzctl enter 3006
```

Запускаем `ssh`:

```
/etc/init.d/sshd start
```

Добавим запуск демона `ssh` по умолчанию:

```
rc-update add sshd default
```

Далее запускаем NX-сервер:

```
nxserver --start
```

Если все в порядке, появляется сообщение:

```
NX> 100 NXSERVER~--- Version 1.4.0-44 OS (GPL)
    NX> 122 Service started
    NX> 999 Bye
```

3.2. Название секции

Текст.

3.3. Название секции

Текст.

Заключение

Текст.

В работе было рассмотрено:

1. Принципы работы таких средств моделирования сетей, как NS-2 и Mininet
2. Сделан обзор алгоритма работы дисциплины управления очередью RED и некоторых его модификаций, а также разработаны их реализация в имитационной модели в NS-2.
3. Произведен сравнительный анализ результатов при имитационном и натурном моделировании сети.

Итог: —.

Список литературы

1. A self-configuring RED gateway / W.-C. Feng [и др.] // IEEE INFOCOM '99. Conference on Computer Communications. Proceedings. Eighteenth Annual Joint Conference of the IEEE Computer and Communications Societies. The Future is Now (Cat. No.99CH36320). — IEEE, 1999. — DOI: 10.1109/infcom.1999.752150.
2. An AQM based congestion control for eNB RLC in 4G/LTE network / A. K. Paul [и др.] // 2016 IEEE Canadian Conference on Electrical and Computer Engineering (CCECE). — IEEE, 05.2016. — DOI: 10.1109/ccece.2016.7726792.
3. Congestion Control Scheme Performance Analysis Based on Nonlinear RED / C.-W. Feng [и др.] // IEEE Systems Journal. — 2017. — Дек. — Т. 11, № 4. — С. 2247—2254. — DOI: 10.1109/jsyst.2014.2375314.
4. Floyd S., Jacobson V. Random early detection gateways for congestion avoidance // IEEE/ACM Transactions on Networking. — 1993. — Т. 1, № 4. — С. 397—413. — DOI: 10.1109/90.251892.
5. Hu L., Kshemkalyani A. HRED: a simple and efficient active queue management algorithm // Proceedings. 13th International Conference on Computer Communications and Networks (IEEE Cat. No.04EX969). — IEEE, 2004. — DOI: 10.1109/icccn.2004.1401681.
6. Ketri F., Askar S. Emulation of Software Defined Networks Using Mininet in Different Simulation Environments // 2015 6th International Conference on Intelligent Systems, Modelling and Simulation. — IEEE, 02.2015. — DOI: 10.1109/isms.2015.46.
7. Kim T.-H., Lee K.-H. Refined Adaptive RED in TCP/IP Networks // SICE-ICASE International Joint Conference 2006 Oct. 18-21, 2006 in Bexco, Busan, Korea. — IEEE, 2006. — DOI: 10.1109/SICE.2006.314633.
8. Kumhar D., kumar A., Kewat A. QRED: an enhancement approach for congestion control in network communications // International Journal of Information Technology. — 2020. — Окт. — Т. 13, № 1. — С. 221—227. — DOI: 10.1007/s41870-020-00538-1.
9. Nonlinear AQM for Multiple RED Routers / L. Lu [и др.] // 2008 Third International Conference on Convergence and Hybrid Information Technology. — IEEE, 11.2008. — DOI: 10.1109/iccit.2008.68.
10. POWARED for Non-Linear Adaptive RED / B. Ng [и др.] // 2005 Asia-Pacific Conference on Communications. — IEEE, 2005. — DOI: 10.1109/apcc.2005.1554179.
11. Rehmani M. H., Saleem Y. Network Simulator NS-2 // Encyclopedia of Information Science and Technology, Third Edition. — IGI Global, 07.2014. — С. 6249—6258. — DOI: 10.4018/978-1-4666-5888-2.ch615.

12. Revisiting the Gentle Parameter of the Random Early Detection (RED) for TCP Congestion Control / N. Hamadneh [и др.] // *Journal of Communications*. — 2019. — С. 229—235. — DOI: 10.12720/jcm.14.3.229-235.
13. Tahiliani M. P., Shet K. C., Basavaraju T. G. FARED: Fast Adapting RED Gateways for TCP/IP Networks // *IEEE/ACM Transactions on Networking*. — 2012. — Т. 1, № 4. — С. 435—443. — DOI: 10.1109/90.251892.
14. Wei D. X., Cao P. NS-2 TCP-Linux // *Proceeding from the 2006 workshop on ns-2: the IP network simulator - WNS2 '06*. — ACM Press, 2006. — DOI: 10.1145/1190455.1190463.
15. Weighted RED (WTRED) Strategy for TCP Congestion Control / N. Hamadneh [и др.] // *ICIEIS 2011. Т. II / под ред. A. Abd, M. et al.* — Springer, 2011. — С. 421—434. — (Part). — DOI: 10.1007/978-3-642-25453-6_37.
16. ZHENG B. DSRED: A New Queue Management Scheme for the Next Generation Internet // *IEICE Transactions on Communications*. — 2006. — Март. — Т. E89—B, № 3. — С. 764—774. — DOI: 10.1093/ietcom/e89-b.3.764.
17. Zhou K., Yeung K. L., Li V. O. Nonlinear RED: A simple yet efficient active queue management scheme // *Computer Networks / под ред. С.-Т. Lea*. — 2006. — 17 мая. — Т. 50, № 18. — С. 3784—3794. — DOI: 10.1016/j.comnet.2006.04.007.
18. Королькова А. В., Кулябов Д. С., Черноиванов А. И. К вопросу о классификации алгоритмов RED // *Вестник РУДН. Серия «Математика. Информатика. Физика»*. — 2009. — Янв. — С. 34—46.

Приложение А. Имитационная модель

А.1. main.tcl

```
#новый экземпляр объекта Simulator
set ns [new Simulator]

#трейс файл для nam, файл слишком большой, так что временно закомментируем
set nf [open output/out.nam w]
$ns namtrace-all $nf

#количество источников
set N 20

#создание узлов
source "nodes.tcl"

#метрики TCP
source "TCP.tcl"

#настройка очереди
source "queue.tcl"

#настройка времени моделирования
source "timing.tcl"

#визуализация в nam
source "nam.tcl"

#процедура finish
source "finish.tcl"

#запуск программы
$ns run
```

А.2. Название секции

Текст.

Приложение В. Название второго приложения

В.1. Название секции

Текст.

В.2. Название секции

Текст.

В данном приложении представлен исходный код программы для решения стохастических дифференциальных уравнений, написанный на языке С с использованием библиотеки GSL.

Приложение С. Заголовочный файл diffur.h

```

/*
    Name: Header file for SDE computing
    Author: Andrew "Atcher" Tchernov
           tchernov@gmail.com
    Copyright: Raccoon Programming Division
*/

#include <stdio.h>
#include <math.h>
#include <gsl/gsl_errno.h>
#include <gsl/gsl_matrix.h>
#include <gsl/gsl_odeiv.h>

#define N 1 // Количество узлов
#define Q_MAX 60 // Максимальное пороговое значение пакетов для
    ↪ алгоритма RED
#define Q_MIN 20 // Минимальное пороговое значение пакетов для
    ↪ алгоритма RED
#define W_MAX 32 // Максимальный размер TCPокна-
#define R 100 // Размер буфера
#define Tp 0.01 // Время прохождения пакета от источника до узла
#define wq 0.0007 // Вес очереди
#define delta 0.01 //
#define C_SMALL 1600 // Количество обслуживаемых за 1 секунду пакетов

double Q_TR_L;
double Q_TR_R;
double Q_TR;
double ALPHA;
double BETA = 0.9;
double BETA_powared = 5; // Compress factor
double P_MAX = 0.1; // Максимальная вероятность сброса
int K = 3; // Possible values are - 2,3,4

// Описываем нашу индикаторную функцию
double tau (double x)

```



```

{
    if (x > 0.0 )
        return 1.0;
    else
        return 0.0;
}

// Описываем функцию T
double T (double x)
{
    return (Tp+x/(double)C_SMALL);
}

// Описываем функцию C
double C (double x)
{
    if (C_SMALL < x)
        return (double)C_SMALL;
    else
        return x;
}

// Задаем функцию вычисления вероятности сброса
double p_RED (double x) // RED
{
    double p1,p2;

    if ((0.0 <= x) && (x < (double)Q_MIN))
        return 0;
    else if (x > (double)Q_MAX)
        return 1;
    else
    {
        p1 = (double)(x -(double)Q_MIN);
        p2 = (double)((double)Q_MAX - (double)Q_MIN);
        return (double)((p1/p2)*P_MAX);
    }
}

```

```

}

double p_ARED (double x) // ARED
{
    double p, p1, p2;

    // Computing P_MAX
    ALPHA = fmin(0.01, P_MAX/4);

    if ((x > Q_TR) && (P_MAX <= 0.5))
        p = P_MAX+ALPHA;
    else if ((x <= Q_TR) && (P_MAX >= 0.01))
        p = P_MAX*BETA;

    if (p<0.01) P_MAX=0.01;
    if (p>0.5) P_MAX=0.5;
    P_MAX = p;

    // Computing p
    if ((0.0 <= x) && (x < (double)Q_MIN))
        return 0;
    else if (x > (double)Q_MAX)
        return 1;
    else
    {
        p1 = (double)(x -(double)Q_MIN);
        p2 = (double)((double)Q_MAX - (double)Q_MIN);
        return (double)((p1/p2)*P_MAX);
    }
}

double p_RARED (double x) // RARED
{
    int a,b;
    double c,d,p,p1,p2;
    // Computing P_MAX
    if ((x > Q_TR) && (P_MAX <= 0.5))

```

```

{
    a = Q_TR - x;
    c = (double) a / (double) Q_TR;
    d = c * P_MAX;
    ALPHA = 0.25 * d;
    p = P_MAX + ALPHA;
}
else if ((x <= (double) Q_TR) && (P_MAX >= 0.01))
{
    a = Q_TR - x;
    b = (int)Q_TR - (int)Q_MIN;
    c = (double)a / (double)b;
    d = 0.17 * c;
    BETA = 1 - d;
    p = P_MAX * BETA;
}
if (p < 0.01) P_MAX = 0.01;
if (p > 0.5) P_MAX = 0.5;
P_MAX = p;
// Computing P
if ((0.0 <= x) && (x < (double)Q_MIN))
    return 0;
else if (x > (double)Q_MAX)
    return 1;
else
{
    p1 = (double)(x - (double)Q_MIN);
    p2 = (double)((double)Q_MAX - (double)Q_MIN);
    return (double)((p1/p2) * P_MAX);
}
}

double p_POWARED (double x) //POWARED
{
    double p, sigma, dev, p1,p2,p3,p4,p11,p21;
    //Computing p_max
    dev = x - Q_TR;

```

```

if (dev < 0)
{
    p1 = (double)dev / (double)Q_TR;
    p3 = p1 / (double) BETA;
    p4 = pow(p3,K);
    sigma = fabs(p4);
    p = P_MAX-sigma;
    if ( p < 0) p = 0;
    P_MAX = p;
}
else if (dev > 0)
{
    p11 = (double) R - (double)Q_TR;
    p1 = dev / p11;
    p3 = p1 / (double) BETA;
    p4 = pow(p3,K);
    sigma = fabs(p4);
    p = P_MAX+sigma;
    if ( p > 1 ) p = 1;
    P_MAX = p;
}
else if (dev == 0) p = P_MAX;
//Computing p
if ((0.0 <= x) && (x < (double)Q_MIN))
    return 0;
else if (x > (double)Q_MAX)
    return 1;
else
{
    p1 = (double)(x -(double)Q_MIN);
    p2 = (double)((double)Q_MAX - (double)Q_MIN);
    return (double)((p1/p2)*P_MAX);
}
}

double W_Reno_RED (double y[])
{

```

```

    return (double)((tau((double)W_MAX-y[0]))*(1/T(y[1])))
    +(-((y[0])/2)*(y[0]/T(y[1])))*p_RED(y[2]));
}

```

```

double W_Reno_ARED (double y[])
{
    return (double)((tau((double)W_MAX-y[0]))*(1/T(y[1])))
    +(-((y[0])/2)*(y[0]/T(y[1])))*p_ARED(y[2]));
}

```

```

double W_Reno_RARED (double y[])
{
    return (double)((tau((double)W_MAX-y[0]))*(1/T(y[1])))
    +(-((y[0])/2)*(y[0]/T(y[1])))*p_RARED(y[2]));
}

```

```

double W_Reno_POWARED (double y[])
{
    return (double)((tau((double)W_MAX-y[0]))*(1/T(y[1])))
    +(-((y[0])/2)*(y[0]/T(y[1])))*p_POWARED(y[2]));
}

```

```

double W_FReno_RED (double y[])
{
    return (double)((tau((double)W_MAX-y[0])/T(y[1]))
    + (-((y[0]))*((y[0])/2)*(1-p_RED(y[2]))
    *p_RED(y[2]) / T(y[1]))+ ((y[0])*(1-(y[0]))*(p_RED(y[2])
    *p_RED(y[2])) / T(y[1])));
}

```

```

double W_FReno_ARED (double y[])
{
    return (double)((tau((double)W_MAX-y[0])/T(y[1]))
    + (-((y[0]))*((y[0])/2)*(1-p_ARED(y[2]))
    *p_ARED(y[2]) / T(y[1]))+ ((y[0])*(1-(y[0]))
    *(p_ARED(y[2])*p_ARED(y[2])) / T(y[1])));
}

```

```
double W_FReno_RARED (double y[])
{
    return (double)((tau((double)W_MAX-y[0])/T(y[1]))
    + (-(((y[0]))*((y[0]))/2)*(1-p_RARED(y[2]))
    *p_RARED(y[2]) / T(y[1]))+((y[0])*(1-(y[0]))
    *(p_RARED(y[2])*p_RARED(y[2])) / T(y[1]))));
}
```

```
double W_FReno_POWARED (double y[])
{
    return (double)((tau((double)W_MAX-y[0])/T(y[1]))
    + (-(((y[0]))*((y[0]))/2)*(1-p_POWARED(y[2]))
    *p_POWARED(y[2]) / T(y[1]))+((y[0])*(1-(y[0]))
    *(p_POWARED(y[2])*p_POWARED(y[2])) / T(y[1]))));
}
```

```
double Q_RED (double y[])
{
    return (double)(-C(y[1])+(tau((double)R-y[1]))
    *(y[0]/T(y[1]))*(1-p_RED(y[2]))*N);
}
```

```
double Q_ARED (double y[])
{
    return (double)(-C(y[1])+(tau((double)R-y[1]))
    *(y[0]/T(y[1]))*(1-p_ARED(y[2]))*N);
}
```

```
double Q_RARED (double y[])
{
    return (double)(-C(y[1])+(tau((double)R-y[1]))
    *(y[0]/T(y[1]))*(1-p_RARED(y[2]))*N);
}
```

```
double Q_POWARED (double y[])
{

```

```

    return (double)(-C(y[1])+(tau((double)R-y[1]))
    *(y[0]/T(y[1]))*(1-p_POWARED(y[2]))*N);
}

double Qe (double y[])
{
    return (double)((((log(1-wq)/delta)*y[2])
    -((log(1-wq)/delta)*y[1]));
}

int func (double t, const double y[], double f[], void *params)
{
    f[0]=W_FReno_ARED(y);
    f[1]=Q_ARED(y);
    f[2]=Qe(y);

    return GSL_SUCCESS;
}

```

Приложение D. Файл `diffur.c`

```

/*
    Name: Main file for SDE computing
    Author: Andrew "Atcher" Tchernovanov
           tchernovanov@gmail.com
    Copyright: Raccoon Programming Division
*/

# include <stdio.h>
# include <math.h>
# include <gsl/gsl_errno.h>
# include <gsl/gsl_matrix.h>
# include <gsl/gsl_odeiv.h>
# include "diffur.h"

int main ()
{
    // Задаем границы нашего временного интервала
    double t0 = 0.0, t1 = 200.0;
    // Задаем точку начала отсчета
    double t = t0;
    // и определяем желаемый шаг, с которым у нас будет вычисляться
    ↪ значения
    double h = 1e-3;

    // Размерность системы
    int dim_ode = 3;

    // Векторстолбец-, задающий начальные условия
    double y[3] = {1.0, 0.0, 0.0};

    // Определяем метод, который будет использоваться для решения данной
    ↪ системы уравнений
    const gsl_odeiv_step_type *P = gsl_odeiv_step_rk4;

    // Программная: возвращает указатель на начало массива координат
    // для заданного шага и размерности системы

```



```

gsl_odeiv_step *s = gsl_odeiv_step_alloc (P,dim_ode);
// Программная: создание переменной, в которой будет храниться
// накопленная при вычислениях ошибка
gsl_odeiv_control *c = gsl_odeiv_control_y_new (h, t0);
// Программная: возвращает указатель на массив для
// заданной размерности системы
gsl_odeiv_evolve *e = gsl_odeiv_evolve_alloc (dim_ode);

// Определяем нашу общую систему уравнений, передавая
// func - указатель на нашу систему диффузов
// NULL - здесь указывается якобиан, если он есть
// dim_ode - размерность нашей системы уравнений
// NULL - дополнительные параметры, если имеются
gsl_odeiv_system sys = {func, NULL, dim_ode, NULL};

ALPHA = fmin (0.01, P_MAX/4);
Q_TR_L = (Q_MIN + (0.4*(Q_MAX-Q_MIN)));
Q_TR_R = (Q_MIN + (0.6*(Q_MAX-Q_MIN)));
Q_TR = (Q_TR_L + Q_TR_R) / 2;

// Запускаем наш таймер
while (t < t1)
{
    // Считаем значения нашей системы в заданный момент
    // времени при заданных условиях
    int status = gsl_odeiv_evolve_apply (e,c,s,&sys,&t,t1,&h,y);

    if (status != GSL_SUCCESS) // В случае ошибки
        break;                // прерываем выполнение
    // Выдаем необходимые нам параметры
    printf ("%f %f %f %f\n", t, y[0], y[1], y[2]);
}

// Освобождаем память
gsl_odeiv_evolve_free (e);
gsl_odeiv_control_free (c);

```

```
gsl_odeiv_step_free (s);  
  
exit (0);  
}
```

Список иллюстраций

2.1. Вид функции сброса в алгоритме RED	9
---	---

Список таблиц